

逆T型鋼桁に小型工型鋼をとりつけた格子床版合成桁について

大阪大学工学部 前田幸雄

(株)神戸製鋼所 駿河敏一

『 山田 紘

まえがき

格子床版とは小量の工型鋼を並列し、それらを適当な横方向部材で連結して構成される格子状の骨組にコンクリートを充てんして造られる床版である。これは一名 I-B-GRADE 床版と称し、すでに研究発表も数回されており、東名高速道路等の他多くの実施例もある。

本床版の長所としては、1. 床版厚を薄くできるので死荷重が小さい。2. 鋼格子のユニッ

トは工場製作されるので鉄筋コンクリート床版に比べ施工精度が良い。3. 現場で整骨組み込み、配筋の工程がないので工期を短縮できる。4. 同一曲げモーメントで設計された鉄筋コンクリート床版に比べ、終局耐荷力は 20~40% 大きい。等があげられる。

鋼桁とその上にある鉄筋コンクリート床版とを適当なすり止め (Shear Connector) によって結合する合成桁構造は非合成構造に比べ経済的であり、広く普及していることは衆知のとおりである。しかし、経済的な構造形式である従来方式の合成桁にはまだないわけではない。一般的に言って、活荷重合成桁では鋼重の 10~20% にあたる上フランジは合成前のためと床版をとりつけるためとすり止めとをとりつけるためにあるようであるので、合成後に反応してあまり後にならっていい。この点に着目したエフランジのない合成桁が 1963 年頃アメリカで一橋施工されている。それは径間 41.76m + 5@9.14m + 7.62m の小スパン 5 組間連続橋梁で、図 2 のようにスタッドとウェブに直角に溶接した後、曲げ上げ、鉄筋コンクリート床版中に埋めこんでいる。この橋梁の工事報告¹⁾によると、AASHO の基準に従って設計された鋼重の約半分であると述べられている。又、Texas 大学でも実験^{2), 3)}が行なれており、T 型断面は H 型断面に比べて効果的な断面であると結論している。しかし、現実の中スパン橋梁では、合成前死荷重によるウェブ工縁の応力超過、座屈の問題があるし、スタッドとウェブに溶接すると上での問題が生じてくる。そこで、我々は上フランジのない逆 T 型鋼桁のウエブに前記 I-B-GRADE の格子状骨組みを直接とりつけたアレハブ鋼桁(写真 1)に床版コンクリートを充てんして造られる合成桁、すなわち、T 型鋼桁と I-b-Grade 床版を結合させできる合成桁(以下、K-T-I 合成

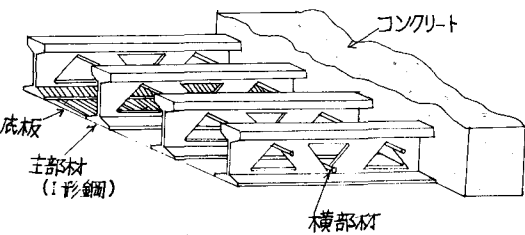


図 1 格子床版の構造

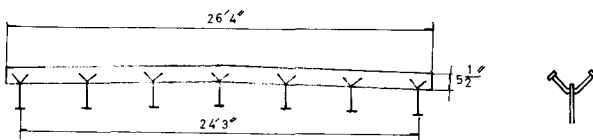


図 2. 文献(1) の構梁

成桁と呼ぶ)を開拓しようとしているので、ここにその模型実験についての報告とKTI G合成桁の実橋への考察、従来の合成桁との比較設計の結果について述べる。

実験目的

KTI G合成桁の基礎資料を得るために、まず桁作用の実験を行ない、すれ止めと1/4の小型工型鋼(格子床版主部材)の挙動、合成効果、終局耐荷力等を調査した。

供試体

図.4～5に示す供試体は2体用い、小型工型鋼とウェブは図.3のように、支点側両面隅肉溶接し、載荷方法は200ton油圧試験機で2点荷重(荷重点間距離1.1m)とした。コンクリートは普通コンクリートで $\phi_{28} = 28.9 \text{ kg/cm}^2$ 、スランプ10cmである。床版厚は小型工型鋼の高さ10.4cmにかぶり3cmを加えた13.4cmである。桁の鋼材はSM50Aである。

実験結果と考察

1. すれ止め

今回の試験体では、残留オルを調べたところ、図.6のようになりた。図.6で破線はスタッドジベル($\phi 19 \times 10$)の押抜試験の荷重-すれ曲線⁶⁾、一点ず線は剛ジベル(支圧面90×45)の押抜試験の荷重-すれ曲線⁶⁾である。図.5

写真-1

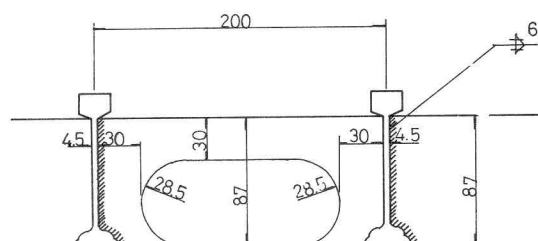
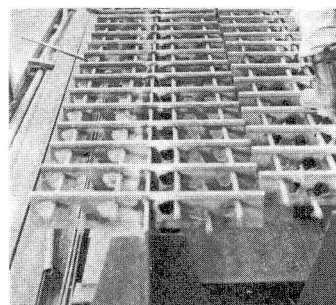
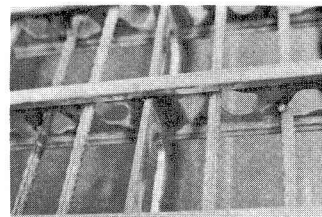
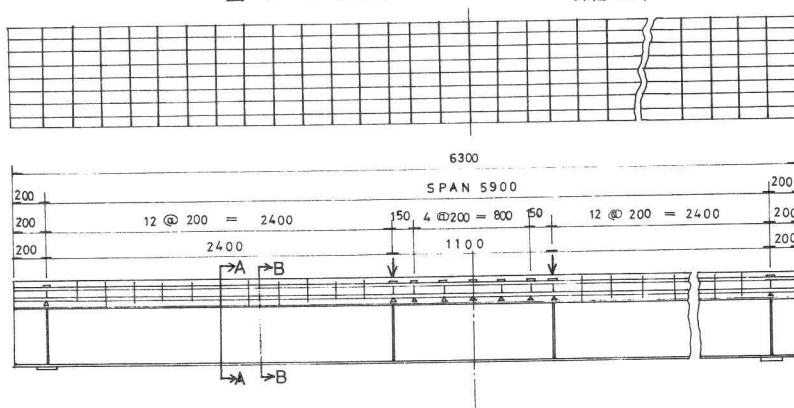


図3 ハンチ穴と溶接法 (単位 mm)

図4 供試体と載荷方法 (単位 mm)



1. 明らかに荷重-ずれ線、荷重-ひずみ線は直線性を示さない。すれ止めと1つの小型工型鋼（格子床版主部材）は変形（ずれ）が支配的な要素とみなす剛ジベルに属する。

2. 合成効果

1) 弾塑性域の計算

仮定 i) 断面は平面保持の法則に従う。 ii) コンクリートの引張強度は無視する。 iii) コンクリートの応力-ひずみ曲線はE関数法⁶⁾（最大応力 = 289 MPa、最大応力時のひずみ = 2600×10^{-6} ） iv) 変形は微少と考え、曲げの曲率はたわみの2回微分で近似できるとする。

以上、4つの仮定を用いて、合成断面の応力状態をコンピューターにより、約合条件式

$$\int \sigma dA = 0$$

から、try and error法で中立軸を求めることによって決定した。各応力状態時の荷重は次式の抵抗曲げモーメントから算出した。

$$M = \int \sigma y dA$$

荷重とたわみの関係は次式により求めた。

$$\frac{d^2\theta}{dx^2} = -\frac{1}{P} \quad P: \text{曲率半径}$$

なお、ひずみ曲線（図.7～8）、たわみ曲線（図.10～11）とも弾性限界付近でn（ヤング係数比）= 1/4による計算値とE関数法による計算値が不連続に行き、それが当然のことである。

2) 応力、ひずみ

弾性域では実験値と計算値に大きな差はないが、弾塑性域にはいると、図.7～8、図.13を見れば分るように荷重が増加すると実験値の方がかなり安全側にしている。図.12は水平方向せん断力と実験より求めたもので、実線は完全合成桁としての計算値、点線は鋼桁のみでせん断力をうけるとした場合の計算値である。

3) たわみ

図.10～11より、弾性域ではたわみの実験値は曲げせん断力を考慮した計算値とほとんど一致している。弾塑性域にはいると、応力、ひずみと同じく荷重が増加すると実験値の方がかなり安全側にしている。

3. 崩壊荷重

崩壊荷重の実験値と計算値を表1に示す。この計算値は図.14のようにして計算し、計算にはコンクリートの圧縮試験、鋼材の引張試験の結果、次の値を用いた。

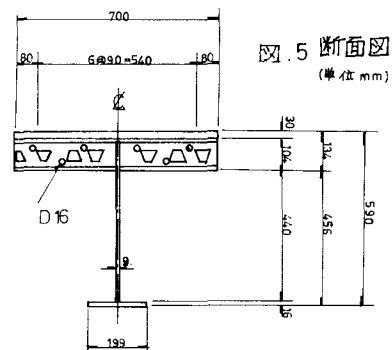


図.5 断面図
(単位mm)

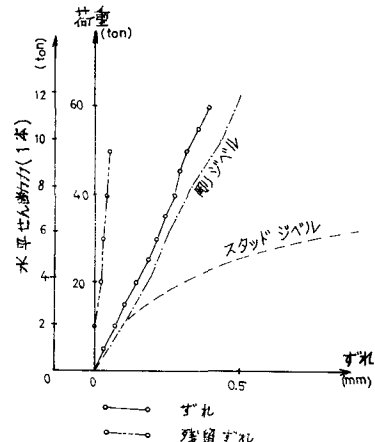


図.6 荷重-すれ曲線

$$\bar{\sigma}_{28} = 28.9 \text{ kg/cm}^2$$

$$\bar{\sigma}_y = 3600 \text{ " (ウェイ) }$$

$$\bar{\sigma}_y = 3300 \text{ " (下フランジ) }$$

表1によれば、KTI合成断面の実験値は計算値に比べて、かたより高い値を示している。試験結果、同じ計算方法での計算値と実験値を比較するため、文献(7)による値を表1の右に示した。

文献(7)による供試体は、図15のように本実験の供試体とよ

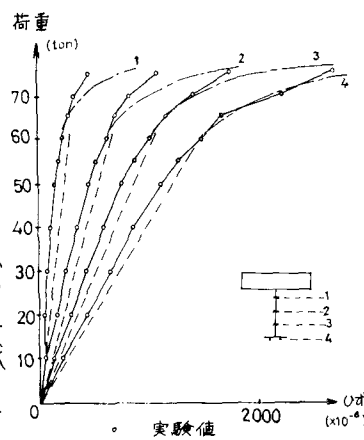


図7 荷重-ひずみ曲線(支間中央)

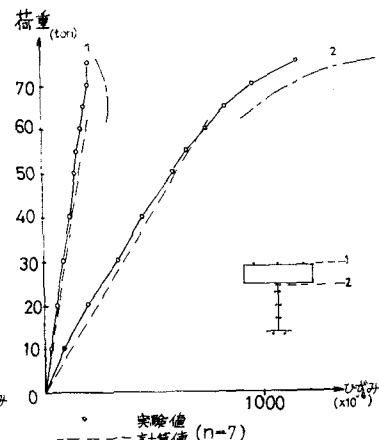


図8 荷重-ひずみ曲線(A-A断面)

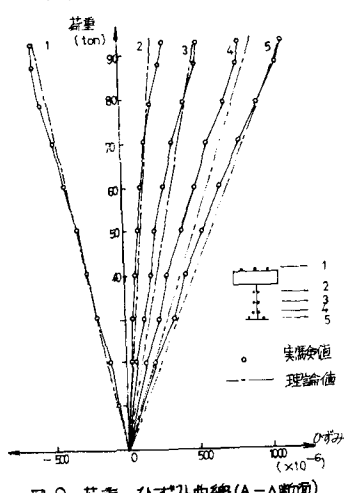


図9 荷重-ひずみ曲線(A-A断面)

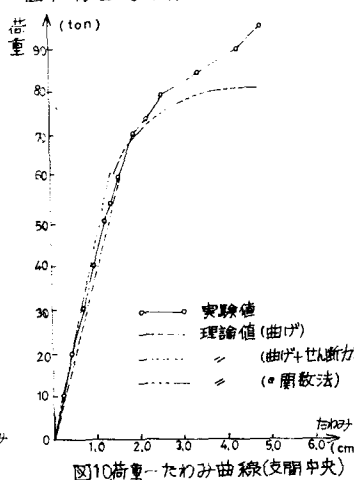


図10 荷重-たわみ曲線(支間中央)

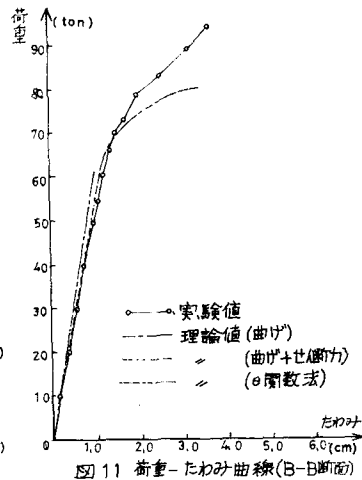


図11 荷重-たわみ曲線(B-B断面)

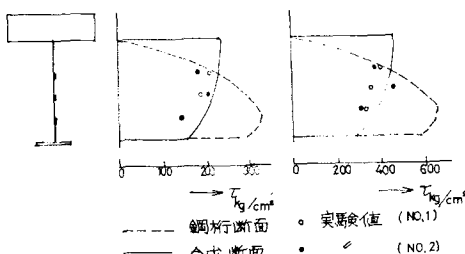
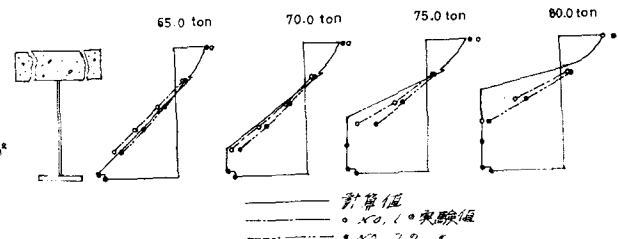


図12 セン断応力分布図

図13 構塑性域の応力分布



く似ているが崩壊荷重の実験値と計算値の比はほとんど等しい。KTIG合成桁の実験値と計算値のちがいの理由としては、

1) 合成桁崩壊時には、鋼桁はひずみ硬化域にはまっている部分がある。

2) 床版中のコンクリートは小型工型鋼(格子床版主部材)にかかるため、自由な変形が拘束されてしまい、このため圧壊現象が強くなると思われる。また、合成桁崩壊時には鋼桁の座屈現象はなく見られず、写真2のように完全な曲げ破壊であった。

4. 結論

1) 静的には、小型工型鋼(格子床版主部材)は必ず止めとて十分使用でき、剛ジベルに属する。合成桁がコンクリートの圧壊による曲げ破壊したことより、小型工型鋼は終局時まで必ず止めとての機能を有した。

2) KTIG合成桁は従来の合成桁以上の合成効果を期待できる。

ひずみ、たわみとも実験値と計算値を比較すると、弾性域ではよくあつてあるが、塑性域では実験値はかなり安全側である。

3) 終局耐荷力は計算値を平均値で27.2%上まわった。

実橋への適用

1. アレハブ桁の製作

主桁ウエブと小型鋼のとりつけに関するのは、桁高の高い場合は製作上のとりあつかいがめんどくさるから、別案として適当な厚さの15~20mmの帯鋼を小型工型鋼にとりつけ、帯鋼と主桁ウエブとを突きあんせ溶接してアレハブ桁とすることが考えられる。この場合は

1) 帯鋼の板厚を適当に選べること。2) 製作、加工とのとりあつかいが容易であること。3) 溶接加工による熱影響、ひずみ等の問題がコンクリート中に埋め込まれる部分で解決できる。等の利点が考えられるが、反面、ウエブと帯鋼との溶接に製作工数増加の問題がある。

2. 床版の構成

1) 床版の形成

本工法における床版はアレハブ桁を既定の位置に架設し、横組みした後、図16に示すようにアレハブ桁の床版主部材①にとりつけた床版連結用支持材(後述)によじ中間床版主部材②を支持、間接連結し、コンクリートを打設して連続床版を形成する。この場合の連結部は床版曲げモーメントの

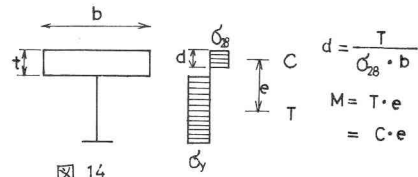


図 14

表 1 破壊荷重

供試体	KTIG合成桁		文献(7)	
実験値	96 ton	109 ton	77.6 ton	76.2 ton
計算値		80.6 ton		76 ton
実験値 計算値	1,191	1,353	1.02	1.00

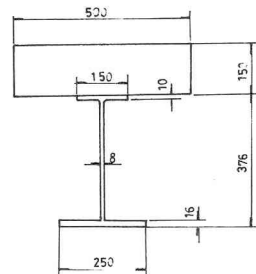


図15 文献(7)の供試体

写真. 2



変曲点付近とし、鉄筋等で補強することも考慮される。

2) 小型工型鋼の断面変化

従来の格子床版では、床版の主部材である小型工型鋼は1つ の橋梁につき同一断面にしなかられていたが、本工法ではより合理的な断面形状を選択できる。すなわち、本工法では床版の負のモーメントをうけた主部材と正の曲げモーメントをうけた主部材を別々に設計施工するので、主軸にとりつけた負のモーメントに対する主部材はエフランジの断面を大きくし、床版中間部のものは下フランジを大きくすることができる。

3) 床版連結用支持板

床版連結用支持板とは、図16のようにアレハブ桁間の中間床版主部材を支持し、床版の連続性を確保するといふもので、アレハブ桁の工型鋼底部にとりつける部材で工型鋼間にはめこむものである。

3. 架設工法

架設工法としては、下記の種々の方法が考えられるので、工事工程、製作、輸送、および架橋の条件に応じて最も適した架設工法を選定し、相当の設計施工を行なうべきであると考える。下記のA-Typeは、合成前死荷重をアレハブ鋼桁の格子骨組、および仮設材にも負担させ、床版コンクリートはすべて現場施工とするものである。B-Typeは、合成前死荷重の全部または一部をあらかじめ施工する第一次床版コンクリート（図17）にも負担させるもので、床版コンクリートの施工は次の2次のみ段階とする。

1) A1-Type

アレハブ鋼桁の床版配力筋、連結用支持板等の橋軸方向部材が合成前死荷重底力を負担するようステージングを仮設して床版コンクリートを施工し、合成後ステージングを撤去する。

2) A2-Type

アレハブ鋼桁の格子骨組从下面、橋軸方向に合成前死荷重を負担する断面（支間30mの橋梁で、約60t）を有する形鋼等を仮桁としつけてあらかじめ床版コンクリートを施工し、コンクリート硬化後、仮桁を撤去する。

3) B1-Type

図17に示すアレハブ鋼桁G-1とG-2をあらかじめ現場ヤードにおいて接合し、第一次床版コンクリートを打設、硬化後引き去り、またはクレーン架設して第二次床版コンクリートを施工する。

4) B2-Type

アレハブ鋼桁G-1、G-2の接合部分には鋼主桁のエフランジ（補強のため）を設けたとき、G-1

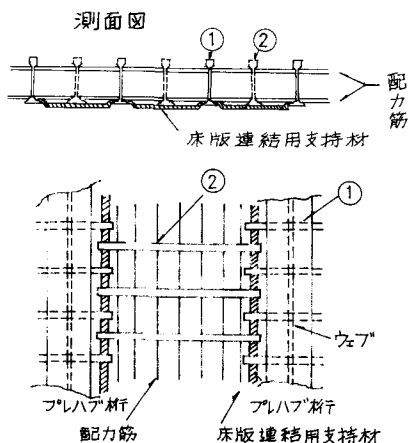
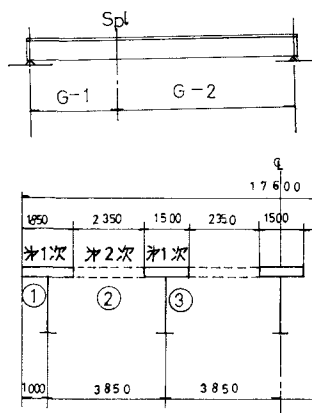


図 16 平面図

図17 架設工法



G-2 それぞれのオ一次床版コンクリート(添接部は除く)を工場または現場ヤードで打設、硬化後架設し、添接部分およびオ第二次床版コンクリートを施工する。この場合の架設方法はケーブル、ステージング、引き出しありびクレーン架設等、従来の活荷重合成桁架設工法と同じである。

5) B3-Type

アレハブ鋼桁 G-1, G-2 それぞれのオ一次床版コンクリートを工場または現場ヤードで打設、硬化後ステージング架設し、添接完了後もステージングを存置して添接部分およびオ第二次床版コンクリートを施工する。完成後、ステージングを撤去する。

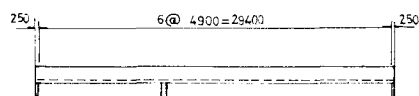
比較設計

KTG 合成桁 (B1-Type) の経済性を調べるために、従来の合成桁と同一設計条件で比較設計を行なう。主要諸元は図 18 のように、橋長 30m、全巾 17.6m、支間 29.4m、床版厚 (鉄筋コンクリート床版 28cm、格子床版 17.6cm)、舗装厚 7.5cm、橋格一等橋、鋼材 SM50A、SM50B、SM41A、SS41、分配横桟 1 本である。設計条件は、1) 鋼道路橋示方書 (合計合計: 次裏)⁸⁾ にむとすく。2) 荷重分配作用に関するところでは Leonhardt の方法で計算する。計算結果を支間中央の主桁断面について示すと表 2 のようになる。表より、KTG 合成桁は、主桁鋼断面積が従来の活荷重合成桁に比べ、外桁で 73.1%、中桁で 24.8% にすぎない。橋梁全体の総鋼重 (主桁、横桟、対傾構、横構、沓、伸縮装置、排水栓) は KTG 合成桁で 60,731 ton (117.4 kg/cm²)、従来の活荷重合成桁で、70,496 ton (136.2 kg/cm²) となり、13.9% の鋼重減となる。床版重量は鉄筋コンクリート床版で

表 2 鋼材表

		上フランジ (SM 50A)	ウェブ (SM 50A)	下フランジ (SM 50B)	金剛桁断面積 (cm ²)
KTG 合成桁	外桁		1900 × 9	490 × 25	286,0
	中桁		1900 × 9	460 × 25	293,5
活荷重合成桁	外桁	300 × 22	1700 × 9	510 × 34	391,2
	中桁	300 × 25	1700 × 9	510 × 32	392,4

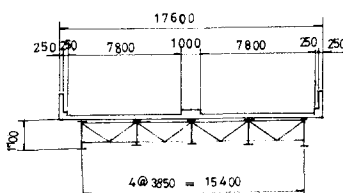
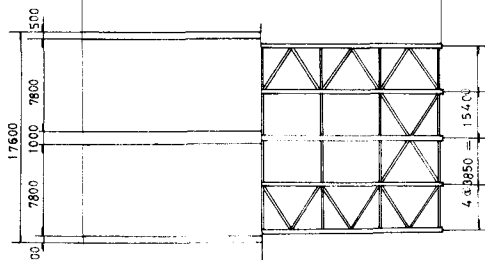
側面図



一般寸法図

(単位 mm)

平面図



575 kg/m²、格子床版で499 kg/m²と16.4%死荷重が減っている。

表 3 設計荷重時の応力

		コンクリート上系梁	上フランジ上系梁	下フランジ下系梁
KT I G 合成桁	外材行	13.8 kg/cm ²		1861 kg/cm ²
	中材行	14.0	◇	1891 ◇
活荷重合成桁	外材行	11.4	◇	1744 kg/cm ²
	中材行	9.0	◇	1724 ◇
				1895 ◇
				1885 ◇

あとがき

KT I G 合成桁の提案と一体の模型実験結果、架設工法案、比較設計について述べた。桁作用の実験結果は良好であり、比較設計では 13.9% 鋼重が減り、経済的であることが分ったので、今後床版の縫手部等の実際上の問題点については、床版実験、疲労実験等を統一して問題点を解明しながら研究開発を進めていきたい。

参考文献

- 1) Engineering News-Record : Composite Design Lower County Bridge Costs , Vol. 172 , No. 13 , Mar. 26 , 1964
- 2) A. A. Toprac , D. G. Eype : Composite Beams with a Hybrid Tee Steel Section , Journal of the Structural Division , A.S.C.E. 1967
- 3) A. A. Toprac : Strength of Three New Types of Composite Beams , Engineering Journal , A.I. S. C. Vol. 3 , No. 2 , 1963
- 4) A. A. Toprac : Steel Research for Construction , Bulletin No. 1 , A.I. and S.I. , 1965
- 5) 梅村 魁 : 鋼筋コンクリート T 梁の塑性変形および終局強度、日本建築学会論文報告集第 42 号 1951
- 6) 赤尾親助 : スタッドジベル合成桁に関する研究、学位論文
- 7) 大阪市大、大阪市、松尾橋梁 : 新大正橋模型実験報告書(部分合成桁の静的実験) , 1967
- 8) 鋼道路橋示方書改訂分科会 : 鋼道路橋示方書(分科会第一次案) , 昭和 45 年 5 月